

1. まえがき 橋脚周辺の局所洗掘は洪水時の橋梁災害の最も大きい原因で、とくに最近では河床の動態との関連で洗掘を論じるべき状況にあると思われる。本報では主として河床波の進行による洗掘孔への流入土砂量の変動により、洗掘深がどの程度変動するかを検討する。換言すれば、こうした現象をはじめとする諸様相の絡んだ洗掘過程をも充分に説明・予測することができる洗掘モデルが求められたいと言える。

2. 洗掘モデルの概要 著者らは円柱橋脚周辺の洗掘過程について、洗掘孔形状が時間的に相似に保たれること、洗掘の本質が前面で形成され下流へ飛達する馬蹄型渦であること等から、前面に着目して、土砂のバランスを定式化した洗掘モデルを提案した。¹⁾ それによる洗掘基礎式は次のようである(図-1参照)。

$$\{\bar{V}_1(S) - \bar{V}_2(S)\} (d/D) \Delta t_* = \bar{V}_3(S) \Delta S \quad \dots \dots \dots (1)$$

$$\text{但し}, \bar{V}_1(S) = (A_2/A_1) \{ \lambda_1(S) + 1 \cdot \lambda_1(S) \cdot \rho_{\text{s},0} \sqrt{f_B(S)} \cdot \rho_E(S) \} \dots \dots \dots (2)$$

$$\bar{V}_2(S) = (d/D) \rho_{\text{s},0} f_B(S) \{ \lambda_s(S) + 1/2 \} \dots \dots \dots (3)$$

$$\bar{V}_3(S) = (1-f_0) \{ \lambda_s(S) + 1 \} \cdot \lambda_s(S)/2 \dots \dots \dots (4)$$

$\rho_{\text{s},0} = \rho_s \sqrt{d/(D/P-1)}$, $\Delta t_* = \tau_*/(f_0/f-1)g/d$, $\rho_{\text{s},0}$: $\xi_s=0$ のときの渦域でのpick-up rate, $f_B(S)$: 洗掘の進行に伴うSの変化, f_0 : pick-upされた砂が渦域の外へ

運び去られる確率, ρ_s : 砂の空隙率, $f_B(S)$: 円柱前方での流砂の非平衡複合, その他の記号は図-1に準拠する。前論文¹⁾において上述のモデルに含まれる諸量: $\lambda_s(S)$, $\lambda_1(S)$, $f_B(S)$, $\rho_E(S)$, $\rho_{\text{s},0}(t_*)$ ($t_* \equiv \tau_*/\tau_{*0}$, τ_{*0} : 非擾乱部での無次元持続時間, τ_{*0} : 無次元限界掃流力)が評価されている。また、これよりいかにも動的洗掘過程における平衡洗掘深(S_e)を非擾乱部の掃流力の関数として得られる。但し, D/d がパラメータとなる, といふ(図-2)。

3. 流砂量の変動に対する洗掘深変動応答に関する線型解析

微小変動する流砂量に対する洗掘深が微小変動で応答するならば

次のようになる。線型解析によると現象を容易かつ簡単な形で説明することができる。いま, $\rho_{\text{s},0}$ が $\bar{\rho}_{\text{s},0}$ $(1 + f_B \sin \omega_* t_*)$ と変動し、これに応答して洗掘深が $S_e + S'$ と変動するものとする。 S'/S_e が充分(=小さなとき、式(1)のように近似される(但し、 ω_* :無次元化された流砂量変動の角周波数)。

$$\left[\bar{V}_1(S_e) \left\{ 1 + \frac{1}{\bar{V}_1(S_e)} \frac{\partial \bar{V}_1}{\partial S} \right|_{S_e} \cdot S' \right] - \bar{V}_2(S_e) \left\{ 1 + \frac{1}{\bar{V}_2(S_e)} \frac{\partial \bar{V}_2}{\partial S} \right|_{S_e} \cdot S' \right] \frac{d}{D} \Delta t_* = \bar{V}_3(S_e) \left\{ 1 + \frac{1}{\bar{V}_3(S_e)} \frac{\partial \bar{V}_3}{\partial S} \right|_{S_e} \cdot S' \right] dS \quad \dots \dots \dots (6)$$

上式中、 \bar{V}_3 部が充分小さいことからこれを無視し、また $\bar{V}_1(S_e) - \bar{V}_2(S_e) = 0$ ("平衡"の定義)であることを用いると、式(3), (4)を代入して次式のように S' についての微分方程式が得られる、容易にその解(S')を知ることができる。

$$\frac{dS'}{dt_*} = - \frac{2\bar{\rho}_{\text{s},0}}{1-f_0} \frac{(D)^2}{D} \frac{f_B}{\lambda_s(S_e)} \cdot \sin(\omega_* t_*) \quad \dots \dots \dots (7) \quad \text{但し}, \tilde{\lambda}_s(S_e) \equiv \frac{\lambda_s(S_e) \{ \lambda_s(S_e) + 1 \}}{\lambda_s(S_e) + 1/2} \quad \dots \dots \dots (8)$$

$$S' = \frac{2\bar{\rho}_{\text{s},0}}{1-f_0} \frac{(D)^2}{D} \frac{1}{\tilde{\lambda}_s(S_e)} \cdot \frac{f_B}{\omega_*} \cdot \sin(\omega_* t_* + \frac{\pi}{2}) \quad \dots \dots \dots (9)$$

以上のように、微小変動流砂量に対する洗掘深は $\pi/2$ だけ位相差がある応答、その変動幅は $\bar{\rho}_{\text{s},0}$, (D/d) , f_B , ω_* 及び S_e によらず決まる $\tilde{\lambda}_s$ に支配されるといふことがわかる。

* scour with continuous sediment motion,

† 辻本・水上：第29回水講論文集、1985.

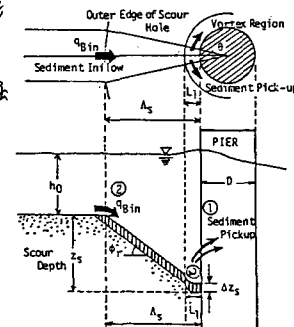


図-1 説明図

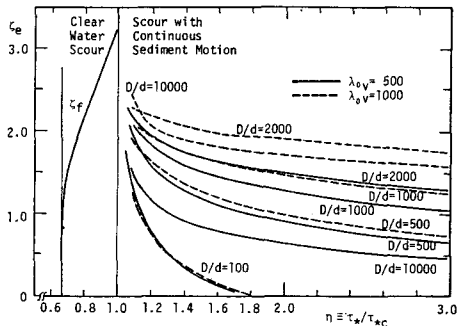


図-2 平衡洗掘深

4. 河床波の進行に伴う洗掘深の変動 動的洗掘過程では洗掘深が平衡洗掘深より変動し、これが河床波の進行に伴うものであるとの指摘はすこい²⁾である。しかしいずれも河床波高が何らかのフィルターパーからつづけられることから、土砂の收支にもつづいて適確には検討されていない。図-3は概略的に示すように河床波の進行により、洗掘孔上流端の流砂量が変動することが最も重要なポイント²⁾、河床波の進行によってすべての流砂量が運ばれている状況(浮遊砂)である。洗掘孔上流端(P_0 の位置)の流砂量はその位置での河床高と河床波の波高の積³⁾である。すなはち、河床波を正弦波で表すと、実 P_0 の河床高の時間的変動は、 $y_t = (H/2) \sin(2\pi t/T_D)$ (10) (H : 河床波の波高, T_D : 河床波の周期)と書け、流砂量変動式(5)の形で書くと、 $q_B = 1, \omega_* = 2\pi/T_D$ となる。河床波の周期を、河床波1個の体積を平均流砂量で運ぶのに要する時間と求めると、 $T_D = \frac{1}{2}(1-f_L)L^2 H / \bar{q}_B$ (11) (f_L : 河床波の形状係数⁴⁾約0.5)となり、 $T_{D*} = \frac{1}{2}(1-f_L)k_L^2 \theta (h/d)^2 / \bar{q}_B$ (12) ($k_L \equiv L/a$, $\theta \equiv H/L$, L : 波長, a : 水深)である。すなはち、 θ の振幅は式(9)にこれで代入して次のよろしくなる。

$q_S = \left\{ k_L^2 \theta / 2\pi \tilde{\lambda}_S(s_e) \right\} (h/D)^2$ (13) つまり、無次元洗掘深の変動幅は $k_L, \theta, \tilde{\lambda}_S(r/D)$ に支配され³⁾。dunes²⁾あれば、 $k_L \approx 5$ 程度であり、 θ は、例えどもFredspe⁴⁾によるとこの周数として与えられる。洗掘深の変動の標準偏差 σ_S を $q_S D$ 程度と考え、一方上流の橋脚の影響を受けないところでの河床高の変動の標準偏差 σ_y を $H/2$ 程度とすると、 $\sigma_y / \sigma_S = \left\{ k_L / \pi \tilde{\lambda}_S(s_e) \right\} \cdot (h/D)$ (14) となる。

上記のように流砂量変動とともに伴う洗掘深の変動を微小と考えると解析も容易で支配要素の効果も明確にされるが、計算結果は必ずしも微小変動とは言い難い。そこで、式(11)-式(12)を数値計算を行って見得して上記モデルの改良を行った。第1の改良点は、洗掘深の変動により集砂床²⁾から洗掘孔上流端の位置が変動すること、これを考慮すると洗掘孔上流端での砂面高は、 $z_E(t) = (H/2) \left[1 + \sin 2\pi \frac{t}{T_D} + \frac{\lambda_s(z_E(t)) - \lambda_s(z_{se})}{L} \right]$ (15) と修正される。また、集砂床の位置の変動により河床波の集砂高に対する相対速度が、 $C_w(t) = U_w + \frac{dz_E}{dt} / z_E$ (16) (但し U_w : 河床波の波速)となり、洗掘孔へ供給される流砂量は式(15)と(16)の積に比例する。すなはち、

$$q_B = \bar{q}_B \left[1 + \sin \left\{ \omega_* t_k - \phi_B(s) \right\} + P_B(t_k) \right] \dots (17), \quad \phi_B = (D/h) \left\{ \lambda_s(s) - \lambda_s(s_e) \right\} / k_L \dots (18), \quad P_B \equiv (T_{D*}/k_L)(D/h) \cdot \frac{dz_E}{dt} \dots (19)$$

となる。 \bar{q}_B が流入流砂量の変動に対する修正された箇所²⁾である。図-4(b)には流砂量変動について線型解析時のものと修正後の比較の一例が示されている。これは式(3)の q_B に置き換えてやり、さらに式(1)中のすべての Δt を $s_e + s'$ に置き換えて(線型解析は単に s_e に置き換えた)、 Δt 間の Δt を逐次計算して洗掘深の変動を数値計算した。その結果の一例が

図-4(a)に示される。この例では線型解析に比べ洗掘深の変動幅が著しく小さくなっている(一般に線型解析の方が相当安全側の解を与える)。図-5は $D/a=500$ の場合について η をパラメータとして $S_{max} \equiv s_e + q_S$ と (h/d) の関係を、線型解析の結果とも比較して示した。

5. あとがき 今後実験資料を広く収集して本研究の適用性の検討を行うとともに、洗掘災害に直結した様子を洗掘に対する現象・構造に着目した研究を、本研究が展開したフレームワークに基づいて進めてゆきたい。

2) Shen, et al. : Proc. ASCE, vol.96, H16, 1970. 3) 鈴木道上: 第27回水講, 1983.

4) Fredspe : Progressive Report, 37, Tech. Univ. of Denmark, 1975.

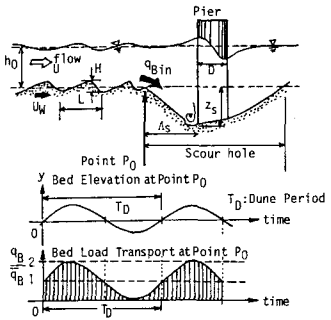


図-3 概念図

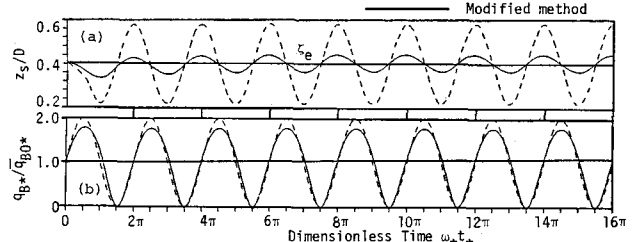


図-4 河床波の進行に伴う洗掘孔への流入流砂量と洗掘深の変動

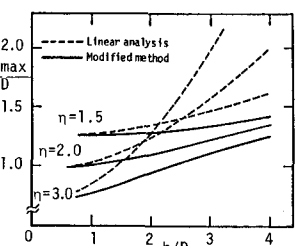


図-5 最大洗掘深